

Navier Stokes 方程式の円柱外部問題の  
数値計算に関する一方法 (特に大 Reynolds 数)

東大 生研 金子 幸 臣

この問題は、主な近づき方が2つあって、1つは非定常流の特時間  $\rightarrow \infty$  での極限を外挿する方法、もう一つは定常の方程式を直接考えるものである。空間座標の適当なものを選んで、その整数の点を格子点とよび、その間隔が、例えば円柱の半径と比較して、十分小さいとき、取扱う函数の隔うかさから、それらの格子点上での値によつて、十分正確に代表されているものとして、差分方程式を導びき、計算というのは実はその差分方程式の解を求めることになる。これまで、Reynolds 数が大きくなると、急速に計算量が増加して、例えば直径に対する Reynolds 数  $\approx 100$  位になると、労多くして、むづかしいかそれに似た感じがあった。しかし、それらの方法では、主流(一様流)が大きいために、幅度  $\omega$  に関する方程式の(流れの函数  $\psi$  を固定、境界値も固定)差分方程式も極端な under relaxation でないと numerical instability を

意におすものであつた。これは別に非線型性によるものではなく、実際、適当な格子をとると、over relaxation が許されることか分る。本稿では、そのような格子の例をあげることが目的としている。勿論、非線型性に関する安定性は、やゝでないので、完全なものではありません。

1) 格子のとり方として、次のようなものを考える。

- i) 各格子点の重要性はなるべく同等になること。
- ii) 計算が簡単になるように、直交(曲線)格子とする。
- iii) 境界(円柱表面)は1つの座標曲線上に乗ること。
- iv) 遠方で一方の座標の座標曲線は流線とほぼ一致する。

i), ii), iii) は直接、計算の効率を上げるためであるが、iv) は stability に関して、iteration の回数そのものを、節約するためである。

2)

デカルト座標:  $(x, y)$

対応する速度:  $(u, v)$

領域の形:  $r = \sqrt{x^2 + y^2} \geq 1$

対応条件:  $y=0$  で  $v=0$

境界条件 :  $r=1$  で  $(u, v) = 0$   
 $r \rightarrow \infty$  で  $(u, v) \rightarrow (1, 0)$

運動方程式 : 
$$\begin{cases} \Delta \psi = -\omega \\ \Delta \omega = -\frac{1}{\nu} \frac{\partial(\psi, \omega)}{\partial(x, y)} \end{cases}$$

但し  $\psi$  :  $u = \frac{\partial \psi}{\partial y}, v = -\frac{\partial \psi}{\partial x}$  は流れの函数  
 $\omega$  :  $\omega = \frac{\partial v}{\partial x} - \frac{\partial u}{\partial y}$  は渦度

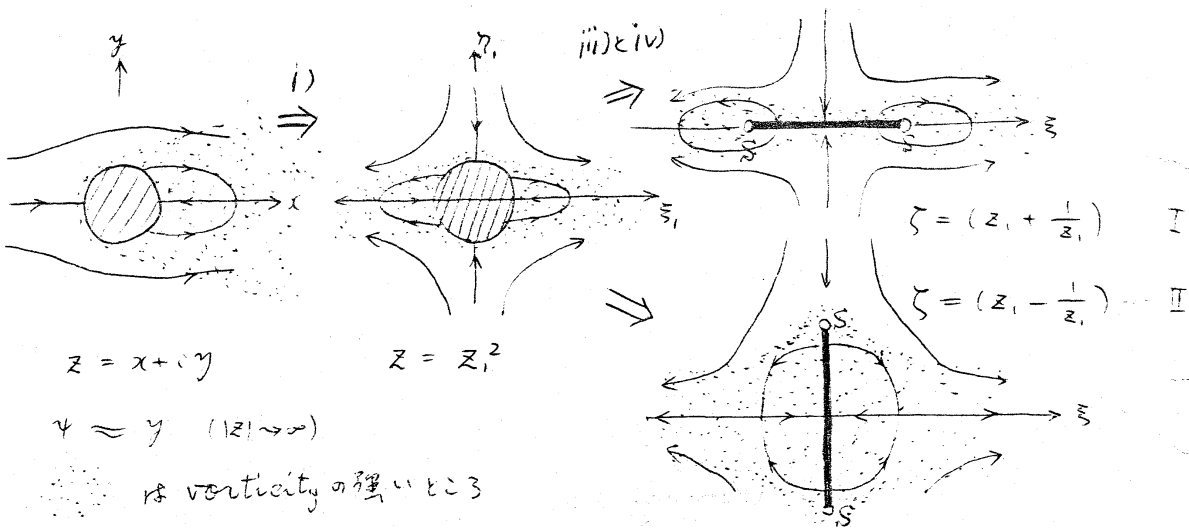
ii) の性質を考えると, 等角写像  $z = z(\zeta)$  で  $z = x + iy$

から  $\zeta = \xi + i\eta$  に移ると 微分方程式は

$$\Delta \psi = - \left| \frac{dz}{d\zeta} \right|^2 \omega \quad \text{但し } \Delta = \frac{\partial^2}{\partial \xi^2} + \frac{\partial^2}{\partial \eta^2}$$

$$\Delta \omega = - \frac{1}{\nu} \frac{\partial(\psi, \omega)}{\partial(\xi, \eta)}$$

i) に戻しては  $r \rightarrow \infty$  での漸近形 (今井先生の論文) を考慮し, iii): iv) をもつものとしては



などがよさそうである。

座標変換  $\Gamma$  での singular point  $S$  は  $\omega$  の値が  $\Pi$  でのそれにくらべて小さい ( $R_c$  が大きいとき) ので、その近くでの近似が悪くて重大では無い。その代り、興味のある領域が多少局在してしまうきらいがある。 $\Pi$  では  $S$  の近くでの  $\omega$  は他の点での  $\omega$  (それは大部分下流にある) の影響が少ないので、適当な処理をすれば良い精度が得られるであろう。

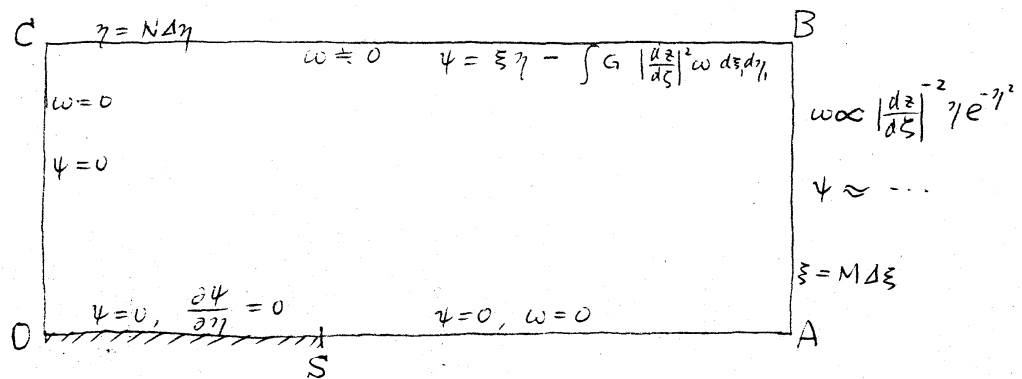
差分方程式も普通に使われるもの：

$$\frac{\partial \psi}{\partial \xi} \Rightarrow \frac{\psi(\xi + \Delta \xi) - \psi(\xi - \Delta \xi)}{2\Delta \xi}$$

$$\frac{\partial^2 \psi}{\partial \xi^2} \Rightarrow \frac{\psi(\xi + \Delta \xi) - 2\psi(\xi) + \psi(\xi - \Delta \xi)}{\Delta \xi^2}$$

などの置き換えを微分方程式に行なうためのを使う。

relaxation を行う領域は  $0 \leq \eta \leq N \Delta \eta$ ,  $0 \leq \xi \leq M \Delta \xi$  の  $(N+1) \times (M+1)$  の格子点の上である。



境界条件  $\overline{OC}$  上と  $\overline{OS A}$  上は問題ない。  $\overline{CB}$  上で  $\omega \equiv 0$  十分よい近似を与えるであろう。

$$\psi = \xi\eta - \int G \left| \frac{dz}{d\zeta} \right|^2 \omega d\xi d\eta_0 \quad \text{の} \quad G \propto \log \left\{ \frac{|\zeta - \zeta_1| |\zeta - \zeta_3|}{|\zeta - \zeta_2| |\zeta - \zeta_4|} \right\}$$

$$\begin{aligned} \zeta_1 &= \xi_0 + i\eta_0, & \zeta_3 &= -\xi_0 - i\eta_0 \\ \zeta_2 &= \xi_0 - i\eta_0, & \zeta_4 &= -\xi_0 + i\eta_0 \end{aligned} \quad = \log \frac{|\zeta^2 - \zeta_1^2|}{|\zeta^2 - \zeta_2^2|}$$

は  $\xi \geq 0, \eta \geq 0$ , に対する  $\Delta$  (Laplacian) の Green 函数  $\psi$  に現われた積分は  $\overline{CB}$  上で  $\omega \equiv 0$  であるので数値積分も容易である。

$\overline{AB}$  上では  $G$  が singular であるので、あまり積分は易くない。従って次の方法にする。しかし、あくまでも使キ上であって、精密な計算には向いていない。

先ず、幸い、 $\omega \approx \left| \frac{dz}{d\zeta} \right|^2 \eta e^{-\eta^2}$  であるので、

$$\Delta \psi = - \left| \frac{dz}{d\zeta} \right|^2 \omega \approx \eta e^{-\eta^2} \quad \text{indep of } \xi$$

$$\Delta(\psi - \text{erf}(\eta)) \approx 0$$

$$\text{即ち} \quad \psi \approx - \int_0^\eta \int_0^\eta \left| \frac{dz}{d\zeta} \right|^2 \omega d\eta d\eta + \text{harmonic f.}$$

$$\begin{aligned} \text{境界条件から} \quad & \approx \xi\eta - c \operatorname{Im} \log \zeta - \int_0^\eta \int_0^\eta \left| \frac{dz}{d\zeta} \right|^2 \omega d\eta d\eta + \dots \\ & \approx (\xi - c) \eta - \int_0^\eta \int_0^\eta \left| \frac{dz}{d\zeta} \right|^2 \omega d\eta d\eta + \dots \end{aligned}$$

$c$  は  $\xi = 0$  上で  $\psi = 0$  になるように選ぶ定数

これは  $\xi \gg \eta$  を考えるとき、 $\eta = N\Delta\eta$  上で積分を与えら

$$\text{れた} \psi \text{ に連続なつながるように} \quad \psi = (\xi - c) \eta - \int_0^\eta \int_0^\eta \dots d\eta d\eta$$

をそれは大体正しい。  $\omega$  については、 $\psi$  が与えられたとき、微分方程式は、流れの中の拡散をまわし、 $\overline{AB}$  上での  $\omega$  の値は上流に向っての拡散の形が他に影響するから、単に

あまり大きくさえならなければ、他の点での  $\omega$  の大きな影響を与えない。一方差分方程式の方は格子間隔が大きいから、いくら流れが速くても、十数格子までは無視できるような影響が逆のほうに行く。従って少し注意が必要だが、実はそれは振動性のものである。①もし差分方程式の解が  $\overline{CB}$  上で  $\psi$  の方向に滑らかであれば、微分方程式のよい近似になる、つまりはずで、従って上流に逆のほうの悪い影響は小さいものとなる、という。即ち滑らかな解を与えようとする境界条件を付す。

$\xi \rightarrow \infty$  の漸近形の形から

$$|\zeta'| \omega(\xi - 4\xi) = |\zeta'| \omega(\xi)$$

を用いるのが良さそうである。

以上、安定性を特に良くする事なしに、大体の近似的境界条件の計算手順をきめた。これを使って、計算が安定に進めば、より精密な境界条件の下に計算を進める可能性があるのである。勿論、それが保障されたことにはなるのではない。②その点での格子間隔と速度の Reynolds 数  $\gg 2$

安定な relaxation の順序

$\psi$ : fixed である。

安定性の本質的考察は、 $\psi$  を一様流であると考へて、

$$\psi \sim \xi \eta = (k \Delta \xi)(l \Delta \eta), \quad k, l = 0, 1, 2, \dots$$

の場合を調べてみる。

$$\frac{1}{\nu} = \frac{Re}{2} \quad \nu: \text{動粘性率}, \quad Re: \text{Reynolds 数} \text{ とおくと。}$$

差分方程式は

$$\frac{\omega - 2\omega + \omega_0}{(\Delta \xi)^2} - \frac{R}{2} \frac{2 \Delta \eta k \Delta \xi}{2 \Delta \eta} \frac{(\omega_0 - \omega)}{2 \Delta \xi} + \frac{\dot{\omega} - 2\omega + \omega}{(\Delta \eta)^2} + \frac{R}{2} \frac{2 \Delta \xi l \Delta \eta}{2 \Delta \xi} \frac{\omega - \dot{\omega}}{2 \Delta \eta} = 0$$

即ち

$$\frac{\omega - 2\omega + \omega_0}{A^2} - k(\omega_0 - \omega) + \frac{\dot{\omega} - 2\omega + \omega}{B^2} + l(\dot{\omega} - \omega) = 0$$

$$\begin{aligned} \xi \text{ 方向} \Rightarrow k \quad \omega(\xi + \Delta \xi, \eta) &= \omega_0 & \omega(\xi, \eta + \Delta \eta) &= \dot{\omega} \\ \omega(\xi - \Delta \xi, \eta) &= \omega & \omega(\xi, \eta - \Delta \eta) &= \dot{\omega} \end{aligned}$$

は実際の格子点の位置関係に合わせを記号である。また

$$A^2 = \frac{R(\Delta \xi)^2}{4}, \quad B^2 = \frac{R(\Delta \eta)^2}{4} \quad \text{である。}$$

relaxation は一定の  $\eta$  について

$$\frac{\omega - 2\omega^* + \omega_0}{A^2} - k(\omega_0 - \omega^*) + \frac{\dot{\omega} - 2\omega^* + \omega}{B^2} + l(\dot{\omega} - \omega) = 0$$

を解く。次に over relaxation const.  $\alpha$  を使う。

$$\text{新しい } \omega = \omega_{old} + \alpha(\omega^* - \omega_{old}) \text{ とする。}$$

次に  $\eta \rightarrow \eta + \Delta \eta$  について同じことを繰り返す。

このとき、 $\alpha$  の収束率を  $\lambda$  とすると、一回終了と

$$\dot{\omega} \rightarrow \dot{\omega}$$

$$\omega \rightarrow \lambda \omega$$

$$\omega \rightarrow \omega^* = \left( \frac{\lambda}{\alpha} - \frac{1-\alpha}{\alpha} \right) \omega \equiv c\sqrt{\lambda} \omega$$

$$\dot{\omega}, \omega \rightarrow \dot{\omega}^* = ( \quad ) (\dot{\omega}) \equiv (c\sqrt{\lambda}) (\dot{\omega}) \dots$$

$$(14) \quad c = \frac{\sqrt{\lambda}}{\alpha} - \frac{1-\alpha}{\alpha} \frac{1}{\sqrt{\lambda}} \quad \text{であるから}$$

$$c\sqrt{\lambda} \left[ \frac{\dot{\omega} - 2\omega + \omega}{A^2} - k(\dot{\omega} - \omega) \right] + \frac{\dot{\omega} - 2c\sqrt{\lambda}\omega + \lambda\omega}{B^2} + l(\dot{\omega} - \omega) = 0$$

$$\lambda^{-\frac{l}{2}} \omega \text{ であるから } \tau = \frac{t}{\sqrt{\lambda}} \text{ と置く}$$

$$c \left[ \frac{\dot{\omega} - 2\omega + \omega}{A^2} - k(\dot{\omega} - \omega) \right] + \frac{\dot{\omega} - 2\omega + \omega}{B^2} + l(\dot{\omega} - \omega) + \frac{2(1-c)}{B^2} \omega = 0$$

即ち変数分離してあり

固有値問題 (一次元の)

$$(1) \quad k = 0, \omega = 0, \quad k = \bar{k} : \omega = 0$$

$$\frac{\dot{\omega} - 2\omega + \omega}{A^2} - k(\dot{\omega} - \omega) - K\omega = 0$$

$$(2) \quad l = 0 : \omega = 0, \quad l = \bar{l} : \omega = 0$$

$$\frac{\dot{\omega} - 2\omega + \omega}{B^2} + l(\dot{\omega} - \omega) - \Lambda\omega = 0$$

$$\text{であるから } \lambda \text{ は } \left\{ \begin{array}{l} c = \frac{\sqrt{\lambda}}{\alpha} + \frac{\alpha-1}{\alpha} \frac{1}{\sqrt{\lambda}} \\ c(K - \frac{2}{B^2}) + (\Lambda + \frac{2}{B^2}) = 0 \end{array} \right.$$



で与えられる。

$\Lambda$  について考えよう。差分が微分よりく近似していき

たると、 $\bar{\ell} \ll \frac{1}{B^2}$  である。これを  $g = \bar{\ell}$  と置く。方程式は

$$(g+l)\dot{\omega} + (g-l)\omega = (\Lambda+2g)\omega$$

これを初期条件  $\omega(0) = 0$ ,  $\omega(1) = 1$  で解くと解は

$\omega(\ell, \Lambda+2g)$  とする。これは  $(\Lambda+2g)$  の  $(\ell-1)$  次の実係数多項式

である。  $\omega(\ell, -x) = (-1)^{\ell-1} \omega(\ell, x)$  の対称性を持つ

$$\omega(\ell, x) = 0, \quad \ell < g \text{ の根はすべて実数}$$

$$\text{すなわち } |x| < x_0 < 2g-4$$

証 ①  $\omega(\ell+1, 2g) > 0$

$$\therefore (g+l)(\omega(\ell+1) - \omega(\ell)) = (g-l)(\omega(\ell) - \omega(\ell-1))$$

$$\frac{\omega(\ell+1) - \omega(\ell)}{\omega(\ell) - \omega(\ell-1)} = \frac{g-l}{g+l} > 0$$

$$\omega(1) - \omega(0) = 1 - 0 > 0$$

$$\Rightarrow \omega(\ell+1) - \omega(\ell) > 0$$

$$\omega(\ell+1) > \omega(\ell) > \dots > \omega(0) = 0$$

②  $\omega(0, x) = 0$

1)  $\omega(1, x) = 1$

2)  $\text{sign } \omega(2, \pm x_0) = \pm 1$

よって実根  $|x_{21}| < x_0$  があるが  $\omega(2, x)$  は  $-x^2$

であるからこれ以外にない。対称性から  $x_{21} = 0$

$$\text{よって } \left. \begin{array}{l} \omega(2, x) < 0 \quad -x_0 < x < x_{21} \\ \omega(2, x) > 0 \quad x_{21} < x < x_0 \end{array} \right\} (1.2a)$$

$$\exists \varepsilon \quad (1.1) \text{ から } \omega(1, x_{21}) > 0 \quad (1.2a)$$

$$3) \quad \text{sign } \omega(3, \pm x_0) = 1$$

$$\begin{aligned} \omega(3, x_{21}) &= \frac{x_{21} \omega(2, x_{21}) - (g-l) \omega(1, x_{21})}{(g+l)} \\ &= -\frac{(g-l)}{(g+l)} \omega(1, x_{21}) < 0 \quad (1.2a) \end{aligned}$$

よって  $\omega(3, x)$  は  $-x_0 < x_{32} < x_{21} < x_{31} < x_0$  の 2 根:

$x_{31}, x_{32} \in \mathbb{R}$ .  $\omega(3, x)$  は 2 次式だから他の根は  $\pm i$

$$\text{対称性から } x_{32} = -x_{31} < 0$$

$$\begin{aligned} \text{よって } \omega(3, x) > 0 & \quad -x_0 < x < x_{32} \text{ 或 } x_{31} < x < x_0 \\ < 0 & \quad x_{32} < x < x_{31} \end{aligned} \quad (1.3a)$$

$$\begin{aligned} \text{また } (1.2a) \text{ から } \omega(2, x_{32}) < 0 \\ \omega(2, x_{31}) > 0 \end{aligned} \quad (1.3a)$$

以下  $\frac{g-l}{g+l} > 0$  のかぎり同様のことが成立して、証明が終了。

$\max x = x_0$  と ともに詳しく評価する為には、

$$g(\omega - 2\omega + \omega) + l(\omega - \omega) = \Lambda \omega$$

これは  $-\Lambda = \min$  近くでは緩やかに変化する  $\omega(l)$  を与える。

従って、微分方程式で十分近似される。  $x = \frac{l}{\sqrt{g}}$  とすると、

$$\frac{d^2 \omega}{dx^2} + 2x \frac{d\omega}{dx} - \Lambda \omega = 0, \quad \begin{aligned} \omega(0) &= 0 \\ \omega\left(\frac{\sqrt{g}}{g}\right) &= 0 \end{aligned}$$

この最小固有値は  $> 4$  であることから  $\Lambda_{\max} = -4$

$$\min \Lambda = \min(x_0) - 2g = -\max x_0 - 2g = 4 - 4g$$

K について、

$$\left(K + \frac{2}{A^2}\right)^2 \text{ は } \forall x \text{ の実数 } \leq \left(\frac{2}{A^2} - 2\right)^2$$

証明の  $\omega_0(x) \equiv 0, \quad \omega_1(x) \equiv 1,$

方程式は  $\left(\frac{1}{A^2} = P, \quad K + \frac{2}{A^2} = X \text{ とおいた}\right)$

$$(p-k)\omega_{k+1}(x) - x\omega_k(x) + (p+k)\omega_{k-1}(x) = 0$$

これに  $x$  を一つおきに消去すると

$$(p-k)(p-k-1)\omega_{k+2}(x) - (x^2 + 2k^2 - 2p^2 - 2p)\omega_k(x) + (p+k)(p+k-1)\omega_{k-2}(x) = 0$$

$$2k < p < 2N+1 \text{ の形の時 } \Omega_k(x^2) \equiv \frac{2p-2}{x} \omega_{2k+2}(x) \quad (\text{I})$$

$$2N-1 < p < 2N \text{ の } \Omega_k(x^2) \equiv \omega_{2k+1}(x) \quad (\text{II})$$

( $k$  は整数と仮定す)  $\Omega_k(M)$  は  $M$  の  $k$  次の実係数多項式となり、その  $k$  次の係数は正 (そのようにするにため (I), (II) にわけた。)  $\omega_k(2(p-1)) = k$  であるから

$$\Omega_k((2p-2)^2) = \begin{cases} 2k+2 & (\text{I}) \\ 2k+1 & (\text{II}) \end{cases} > 0$$

また

$$\text{sign } \Omega_k(-\infty) = (-1)^k$$

漸化式から  $\Omega_k$  の根  $M_{k,j}$  には  $(\Omega_k(M_{k,j}) = 0)$

$$\text{sign } \Omega_{k+1}(M_{k,j}) = -\text{sign } \Omega_k(M_{k,j})$$

これらから  $\Lambda$  のときと同様に  $\Omega_k(M)$  と  $\Omega_{k+1}(M)$  とは

互いに根を分離して (すべて実根)  $< (2p-2)^2$

これで、 $\omega_k$ は長を1つおきに性質がわかった。中間の長については、元の方程式に立帰って、両側の $\omega$ （これは $\Omega_k$ からわかる）との関係から、やはり証明される。

こうして、 $\frac{\lambda}{\alpha} + (1 - \frac{1}{\alpha}) \frac{1}{\lambda} \equiv C = \frac{\Lambda + \frac{2}{B^2}}{-K + \frac{2}{B^2}}$  は

(I)  $C = \text{実数}, |C| \leq C_0 \equiv \frac{\frac{1}{B^2} - 2}{\frac{1}{B^2} + 1} < 1$

又は (II)  $C = \frac{\Lambda + \frac{2}{B^2}}{\frac{1}{A^2} + \frac{1}{B^2} - i\xi} = \frac{\xi}{1 - i\xi}, \quad \xi, \xi: \text{実数}$

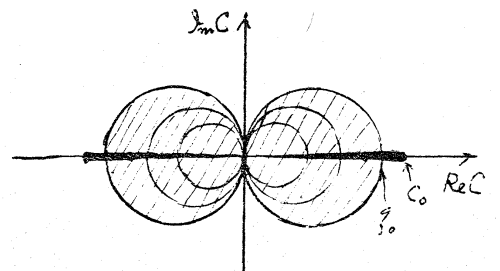
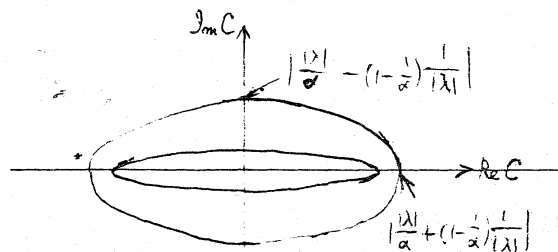
$-\infty < \xi < +\infty, |\xi| \leq \xi_0 \equiv \frac{\frac{1}{B^2} - 2}{\frac{1}{B^2} + A^2} < C_0$

これから  $\min_{\alpha < 2} \max_{\Lambda, K} |\lambda|$  を調べる

以上の議論は、はじめに簡単化の都合で、近似を行っている。そのため、 $C$ の分布はこれに依っているものであっても、全く同じものではないので、ここで、問題を幾何学的に表現して、上の $C$ が一応本質を近似している事を納得しよう。

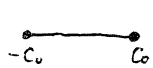
左辺  $\frac{\lambda}{\alpha} + (1 - \frac{1}{\alpha}) \frac{1}{\lambda}$  の  $|\lambda| = \text{const}$  の contour は “円” だ


右辺  $\left\{ \begin{array}{l} \frac{\xi}{1 - i\xi}, \xi < \xi_0 \\ C: \text{実数}, |C| < C_0 \end{array} \right.$  には



$|\lambda_0| < |\lambda|$  なるすべからず  $\lambda$  について 左の図が右の ~~図~~ の外側に完全に出てしまう  $\lambda_0$  を,  $\alpha$  を適当に選んで, 最小にするという幾何学的な意味をもつ。

与えられた  $\alpha$  について

(I)  に關しては  $\lambda_0 = \begin{cases} \frac{c_0 + \sqrt{c_0^2 - k^2}}{1 + \sqrt{1 - k^2}} & k \leq c_0 \\ \frac{\sqrt{1 - \sqrt{1 - k^2}}}{1 + \sqrt{1 - k^2}} & k \geq c_0 \end{cases}$

(II)  に關しては  $\lambda_0 = \begin{cases} f_0 \left( \frac{1 + \sqrt{1 - k^2/f_0^2}}{1 + \sqrt{1 - k^2}} \right) & k \leq \frac{f_0}{\sqrt{2}} \\ \frac{\sqrt{1 - \sqrt{1 - k^2}}}{1 + \sqrt{1 - k^2}} \cdot \frac{2k + f_0}{2k - f_0} & k \geq \frac{f_0}{\sqrt{2}} \end{cases}$

但し  $\alpha = \frac{2}{1 + \sqrt{1 - k^2}}$ ,  $k = \sqrt{\frac{4}{\alpha} \left(1 - \frac{1}{\alpha}\right)}$

一般性を失うことなく  $c_0 \geq f_0$  と仮定してよく

$\alpha$  (即ち  $k$ ) を動かして  $\lambda_0$  の minimum になるのは

$$k = k_0 = \max \left\{ \frac{f_0}{\sqrt{6 - 2\sqrt{5 - f_0^2}}}, \frac{c_0}{2} \left[ \sqrt{1 + \frac{f_0}{c_0}} + \sqrt{1 - \frac{f_0}{c_0}} \right] \right\}$$

であり, そのときの  $\lambda_0$  は

$$\min_{\alpha} \lambda_0 = \frac{\sqrt{1 - \sqrt{1 - k_0^2}}}{1 + \sqrt{1 - k_0^2}} \cdot \frac{2k_0 + f_0}{2k_0 - f_0} = \frac{k_0}{1 + \sqrt{1 - k_0^2}} \sqrt{\frac{2k_0 + f_0}{2k_0 - f_0}}$$

また  $\lambda_0 < 1$  なるための  $\alpha$  に対する条件は (II) に關して

必要で  $\alpha < \frac{4}{2 + \sqrt{1 + f_0} - \sqrt{1 - f_0}}$  が必要十分である。